

Etude numérique de la convection mixte dans une cavité carrée munie de plusieurs entrées.

Mamdouh BELHI* et Saadoun BOUDEBOUS

L.E.A.P. (Laboratoire d'Energétique Appliquée et de la Pollution)

Département de Génie Mécanique, Université Mentouri de Constantine Algérie.

*(auteur correspondant : belhimamdouh @ yahoo.fr)

Résumé - La convection mixte dans des espaces confinés reste un sujet important, tant pour ses applications pratiques dans l'industrie, que pour les questions fondamentales qu'elle soulève. Dans ce travail, nous nous intéressons à la simulation numérique de la convection mixte laminaire dans une cavité carrée ayant plusieurs entrées. Une revue de la littérature montre que tous les travaux utilisant la formulation « fonction de courant ψ et vorticité ω » et portant sur la ventilation des cavités considèrent une seule entrée du fluide. L'absence d'études concernant plusieurs entrées du fluide dans la cavité justifie cette investigation.

Nomenclature

g	accélération de la gravité, $m.s^{-2}$	v	viscosité cinématique, $m^2.s^{-1}$
L	largeur, m	ψ	fonction de courant adimensionnée
t	temps, s	ω	vorticité adimensionnée
T	température, K	τ	temps adimensionné
U	composante horizontale de la vitesse adim.	θ	température adimensionnée
V	composante verticale de la vitesse adim.		<i>Indices</i>
X	coordonnée horizontale adimensionnée	o	état de référence
Y	coordonnée verticale adimensionnée	w	paroi chaude
	<i>Symboles grecs</i>	n	normal à la paroi
α	diffusivité thermique, $m^2.s^{-1}$		
β	coefficient de dilatation, K^{-1}		

1. Introduction

La convection dans des espaces confinés est devenue un sujet classique. Les articles ayant traité de ce sujet sont trop nombreux pour être tous cités ici. Une revue exhaustive de certains travaux disponibles est signalée dans la référence [1] et plus récemment dans [2]. Parmi les études qui ont considéré la ventilation des cavités en utilisant la formulation « ψ - ω » nous pouvons citer ceux figurant dans les références [3] et [4], lorsque la cavité est rectangulaire, celui figurant dans [5] lorsque la cavité est trapézoïdale, avec une ventilation horizontale dans les deux cas, et enfin ceux figurant dans les références [6], et [7] lorsque la cavité est carrée avec une ventilation verticale. L'absence d'études concernant plusieurs entrées du fluide dans la cavité en utilisant la formulation « ψ - ω » nous a motivé à entreprendre cette investigation. Le problème physique considéré est schématisé par la figure 1.

2. Equations

Le problème considéré est gouverné par les équations couplées de Navier-Stokes, tenant compte de l'hypothèse classique de Boussinesq, et de l'énergie dans laquelle le terme de la

dissipation visqueuse a été négligé [8]. La fonction de courant et la vorticit  sont d finies par les relations suivantes:

$$U = \frac{\partial \psi}{\partial Y} \quad V = -\frac{\partial \psi}{\partial X} \quad \omega = \frac{\partial V}{\partial X} - \frac{\partial U}{\partial Y} \quad (1)$$

Compte tenu des hypoth ses simplificatrices et des d finitions pr c dentes les  quations adimensionnelles   r soudre s' crivent de la fa on suivante:

Equation de la fonction de courant:

$$\frac{\partial^2 \psi}{\partial X^2} + \frac{\partial^2 \psi}{\partial Y^2} = -\omega \quad (2)$$

Equation de la vorticit :

$$\frac{\partial \omega}{\partial \tau} + U \frac{\partial \omega}{\partial X} + V \frac{\partial \omega}{\partial Y} = \frac{1}{\text{Re}} \left(\frac{\partial^2 \omega}{\partial X^2} + \frac{\partial^2 \omega}{\partial Y^2} \right) + \text{Ri} \frac{\partial \theta}{\partial X} \quad (3)$$

Equation de l' nergie:

$$\frac{\partial \theta}{\partial \tau} + U \frac{\partial \theta}{\partial X} + V \frac{\partial \theta}{\partial Y} = \frac{1}{\text{Re Pr}} \left(\frac{\partial^2 \theta}{\partial X^2} + \frac{\partial^2 \theta}{\partial Y^2} \right) \quad (4)$$

Re, Ri et Pr d notent, respectivement, les nombres de Reynolds, de Richardson et de Prandlt et sont d finis par les relations suivantes:

$$\text{Re} = \frac{V_o L}{\nu} \quad \text{Pr} = \frac{\nu}{\alpha} \quad \text{Ri} = \frac{Gr}{\text{Re}^2} \quad Gr = \frac{g\beta(T_w - T_o)L^3}{\nu^2}$$

Gr repr sente le nombre de Grashof et les autres grandeurs sans dimensions utilis es sont :

$$X = \frac{x}{L} \quad Y = \frac{y}{L} \quad U = \frac{u}{V_o} \quad V = \frac{v}{V_o} \quad \theta = \frac{T - T_o}{T_w - T_o} \quad \tau = \frac{V_o t}{L}$$

Initialement le fluide est au repos et sa temp rature adimensionnelle est nulle dans toute la cavit . La paroi gauche de celle-ci est soumise   une temp rature adimensionnelle  gale   1. La condition d'adiabacit  (gradient de temp rature aux parois nul) est adopt e pour les autres parois. Le fluide p n tre, avec une vitesse adimensionnelle uniforme  gale   1, dans la cavit  par les diff rentes ouvertures dispos es de part et d'autre par rapport   l'axe vertical de sym trie. La valeur de la fonction de courant est  gale   0 sur la paroi gauche alors que sur les autres parois elle r sulte de l'int gration des  quations (1). La vorticit  sur les parois solides est  valu e par un d veloppement de Taylor, du premier ordre, de la fonction de courant   la paroi. L'expression math matique de cette condition est:

$$\omega_p = -\frac{\partial^2 \psi}{\partial n^2}$$

A la sortie nous avons adopt  une condition non restrictive exprim e par la relation suivante :

$$\frac{\partial^2 \Phi}{\partial Y^2} = 0$$

Φ repr sente θ , ω , ψ , U ou V . La largeur de la sortie du fluide est prise  gale   0.1 et la somme de toutes les largeurs des diff rentes entr es situ es sur la paroi inf rieure est aussi  gale   0.1.

Le transfert de chaleur   partir de la paroi chaude est exprim  par le nombre de Nusselt moyen d fini par l'int grale suivante :

$$\text{Num} = \int_0^1 \left[-\frac{\partial \theta}{\partial X} \right]_{X=0} dY$$

3. Procédure numérique

Les équations (1-4), en tenant compte des conditions aux limites, sont résolues par la méthode des différences finies. La discrétisation temporelle est assurée par la méthode A.D.I. (Alternating Direction Implicit) [9]. Les termes diffusifs ainsi que ceux relatifs aux forces d'Archimède sont discrétisés en utilisant des différences centrales, alors que les termes convectifs sont discrétisés à l'aide d'un schéma hybride. Les systèmes d'équations algébriques obtenus relatifs à la vorticit  et   la temp rature sont r solv s par l'algorithme de Thomas. L' quation de la fonction de courant est r solv e par la m thode it rative de sur-relaxations successives et sa convergence est obtenue   chaque pas de temps. Nous avons utilis  un maillage non uniforme, tr s dense pr s des parois pour tenir compte des gradients importants dans ces couches limites.

Nous avons test  la d pendance de la solution par rapport au maillage et nous avons constat  un  cart de l'ordre de 1% entre les valeurs du nombre de Nusselt moyen, d termin es avec des maillages non uniformes de 121x121 et de 151x151. Finalement nous avons opt  pour une grille de 161x161 pour tenir compte du nombre assez  lev  des diff rentes entr es du fluide dans la cavit .

Le code de calcul d velopp  pour cette  tude a  t  valid  en consid rant les travaux figurant dans la r f rence [10]. Le profil de la vitesse axiale   $X=0.5$ ainsi que la r partition des lignes de courant ont  t  compar s et les r sultats sont en bon accord, ce qui confirme la fiabilit  du code.

4. R sultats

Toutes les simulations ont  t  r alis es en consid rant les valeurs des nombres de Richardson, de Prandtl et de Grashof respectivement de 5, 0.7 et 10^6 . Le temps adimensionnel total est de 80. (R gime  tabli), avec un pas $\Delta\tau$ fix    $4 \cdot 10^{-4}$. Le nombre d'entr es varie de 1   40, mais pour plus de clart  nous avons pr sent  les r sultats pour 1, 2, 4, 12, 20 et 32 entr es.

L' volution temporelle du nombre de Nusselt moyen est repr sent e sur la figure 2 pour les diff rents nombres d'entr es. D'une mani re g n rale ce nombre d cro t brusquement pendant les tous premiers instants (transport de la chaleur par conduction), ensuite il subit de l g res oscillations tr s courtes dans le temps, probablement dues   l'apparition et au d veloppement de zones de recirculation du fluide, puis il diminue r guli rement pour se stabiliser   une valeur fixe. L'augmentation du nombre d'entr es du fluide dans la cavit  a pour cons quence la diminution de ce nombre et celle-ci devient insignifiante pour un nombre d'entr es  gale ou sup rieur   12.

Les isothermes et les trajectoires sont repr sent es sur la figure 3a et 3b respectivement. La r partition de ces deux caract ristiques d pend du nombre d'entr es. Pour une seule entr e, l' coulement est subdivis  en trois parties. L' coulement principal, constituant la premi re partie, a lieu le long de la paroi chaude. La seconde partie est caract ris e par une zone de recirculation du fluide, dans le sens horaire, situ e dans la tranche sup rieure de la cavit  et qui se prolonge, sur une petite  paisseur, jusqu'  l'entr e de celle-ci. La troisi me partie est form e par une autre zone de recirculation, dans le sens anti-horaire, situ e dans la partie inf rieure droite de la cavit . La premi re zone favorise le transfert de la chaleur vers la paroi droite et la seconde la d favorise. Lorsque le nombre d'entr es augmente, tout en restant inf rieur   12, nous notons la pr sence de tourbillons caus s par l'entr e du fluide ainsi que le

rétrécissement progressif de la zone de recirculation supérieure. Ceci améliore la ventilation de la partie inférieure droite de la cavité. Lorsque le nombre d'entrées est supérieur à 12, nous remarquons que les isothermes conservent pratiquement la même position dans la cavité. La hauteur de la zone de recirculation se réduit graduellement et se scinde en deux tourbillons (nombre d'entrées égal à 32), l'un situé près de l'entrée et l'autre dans le coin supérieur droit. Les particules fluides pénètrent dans la cavité en ayant une certaine énergie cinétique qui leur permet de s'élever progressivement à l'intérieur de la cavité en empruntant des trajectoires de forme parabolique jusqu'à la paroi chaude où elles sont convectées, grâce aux forces d'Archimède, jusqu'à la sortie. Ceci a pour conséquence directe de confiner l'écoulement principalement le long de la paroi chaude empêchant ainsi la propagation de la chaleur vers la partie droite de la cavité. Les valeurs du nombre de Nusselt moyen étant proportionnelles au gradient de température à la paroi chaude, elles tendent vers une valeur fixe lorsque le nombre d'entrées augmente à partir de 12.

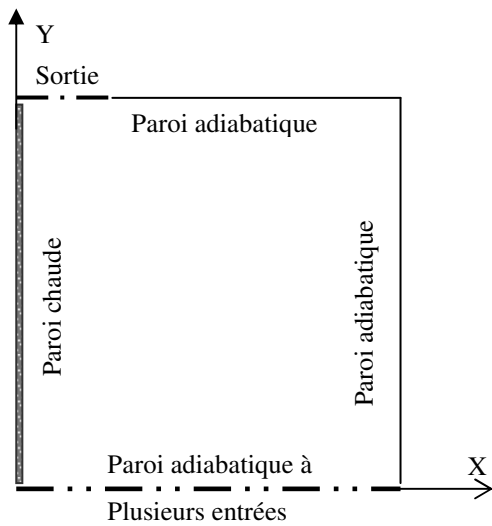


Figure 1 : Schéma de la cavité

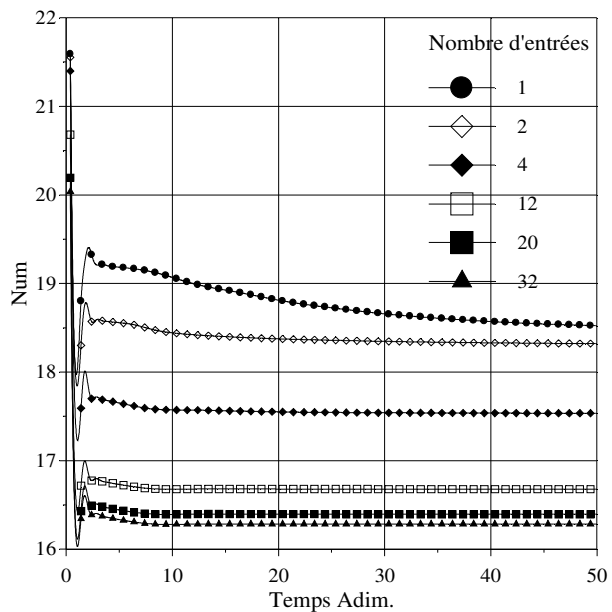
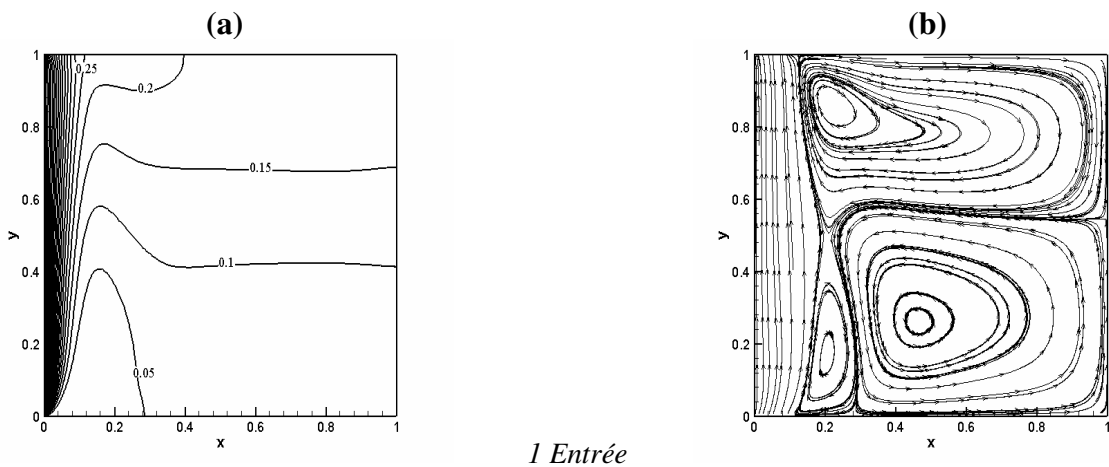
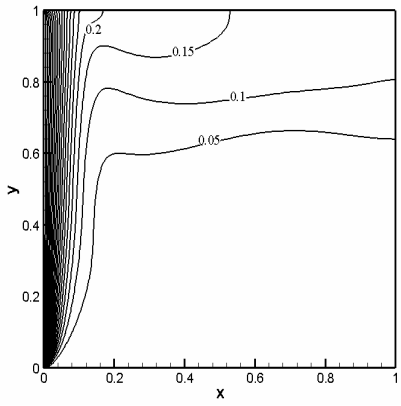


Figure 2 : Evolution du nombre de Nusselt moyen pour les différents nombres d'entrées.

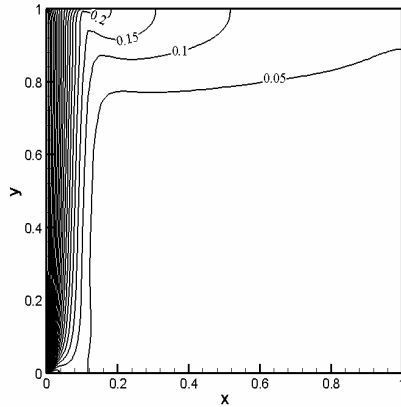
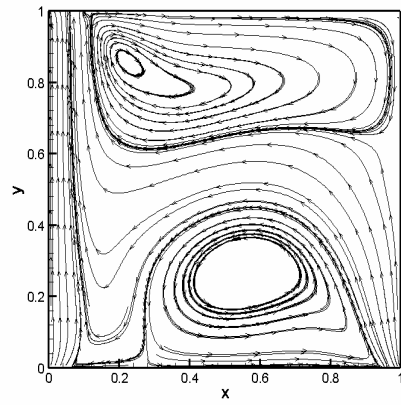


1 Entrée

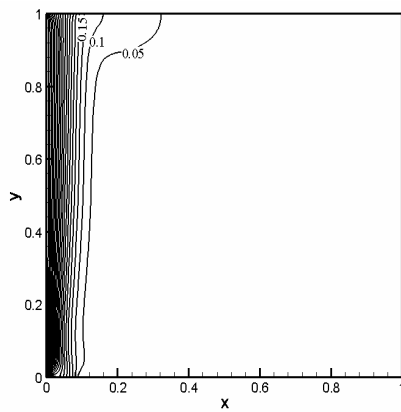
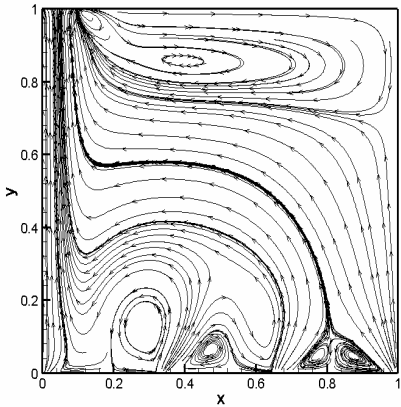
Figure 3 : Isothermes (a) et lignes de courant (b) pour les différents nombres d'entrées



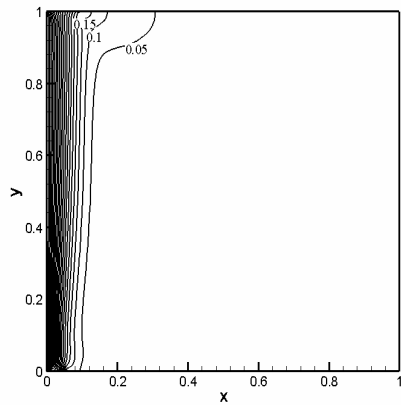
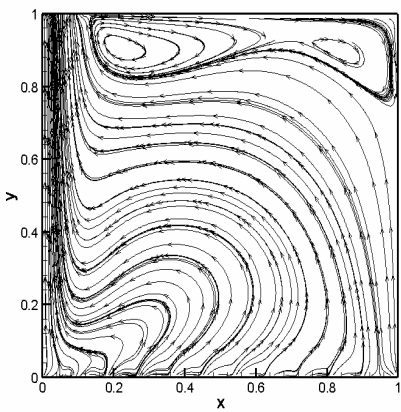
2 Entrées



4 Entrées



12 Entrées



20 Entrées

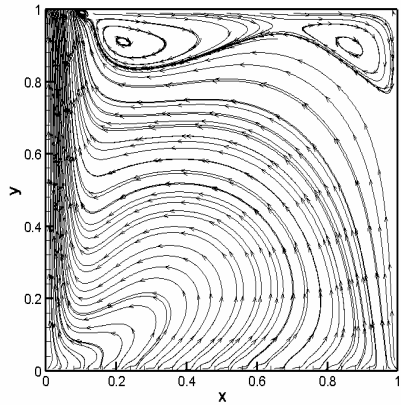
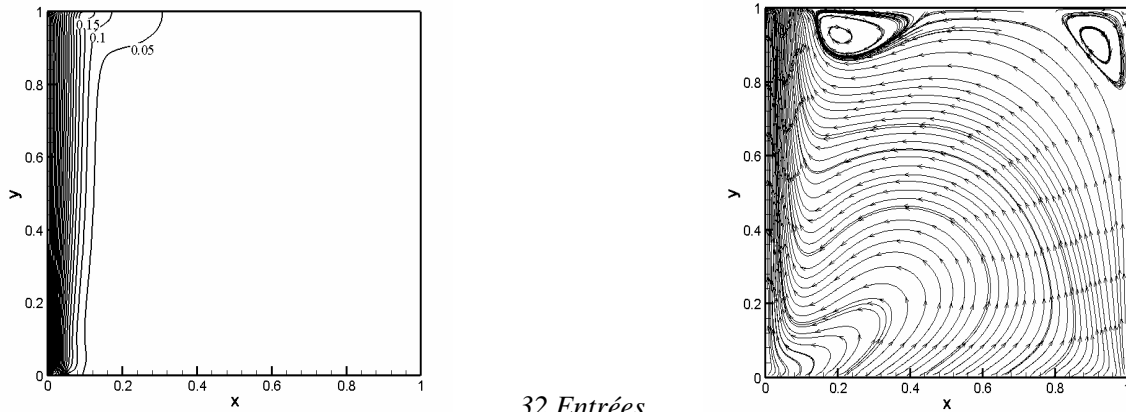


Figure 3 : suite



32 Entrées

Figure 3 : suite

5. Conclusion

La convection mixte se développant au sein d'une cavité dont la paroi verticale gauche est soumise à une température fixe et dont la paroi inférieure possède plusieurs entrées a été étudiée numériquement à l'aide d'une formulation fonction de courant-vorticité ($\psi-\omega$). Les premiers résultats montrent qu'au-delà d'un nombre d'entrées critique (12 pour le cas considéré) la répartition des isothermes et des lignes de courant dans la cavité étudiée reste pratiquement inchangée. Les prochaines étapes vont nous permettre une étude plus détaillée de ce nombre critique pour les autres cas de ventilation de la cavité (convection naturelle et forcée).

Références

- [1] S.Ostrach, Natural convection in enclosures, *J. Heat Transfer ASME* 110 (1988), 1175.
- [2] T.Fusegi, and J.M. Hyun, Laminar and transitional natural convection in an enclosure with complex and realistic conditions, *Int. J. Heat Fluid Flow.* 3 (1994), 258-268.
- [3] M. Farge et P. Duhamel, Simulation numérique du régime thermo hydraulique transitoire d'un jet bidimensionnel injecté dans une cavité rectangulaire, *Int. J. Heat Mass Transfer* 24-10 (1981), 1599-1609.
- [4] A. Raji, et M. Hasnaoui, Correlations en convection mixte dans des cavités ventilées. *Rev. Gen. Therm.* 37, (1988), 874-884.
- [5] I. Tmartnhad, M. Najam, M. El Alami, R. Sehaqui, F. Penot, Convection mixte dans une cavité trapézoïdale chauffée par le bas, *12^{ème} Journées Internationales de Thermique*, (Tanger, Maroc 15-17 Noembre 2005), 363-365.
- [6] D.Angirasa Mixed convection in a vented enclosure with an isothermal vertical surface, *Fluid Dynamics Research* 26, (2000), 219-233.
- [7] S.Boudebous and Z.Nemouchi, Heat transfer by unsteady laminar mixed convection in 2-D ventilated enclosures using the vorticity-stream function formulation, *Advanced Computational Methods in Heat Transfer IX WIT Transactions on Engineering Sciences*, Vol.53 (2006), 33-42.
- [8] R.B Bird, W.E. Stewart, and E.N. Lightfoot, *Transport Phenomena*, John Wiley & Song,
- [9] D.W.Peaceman, and H.H. Rachford, Numerical solution of parabolic and elliptic differential equations, *J. Soc. Indust. Appl. Math.* 3, (1955), 28-41.
- [10] B. Song, G.R. Liu, and K.Y. Lam, Four-point interpolation schemes for convective fluxes *Numerical Heat Transfer, Part B*, 35, (1999), 23-39.